

# 変光星周期位相と一酸化珪素メーザー分布 の相関関係

親泊美哉子<sup>1</sup> 今井裕<sup>1</sup> 永山匠<sup>2</sup> 小山友明<sup>2</sup> 松本尚子<sup>2</sup> 中島淳一<sup>3</sup> S.-H. Cho<sup>4</sup>

<sup>1</sup>鹿児島大学; <sup>2</sup>国立天文台; <sup>3</sup>Ural Fed. Univ.; <sup>4</sup>KASI KVN

## 目的

---

- 漸近巨星枝段階にある脈動変光星（特にO-rich Stars）の星周では、SiOメーザーが検出される。SiOメーザーは星半径1-2倍の近傍星周で生じることから、質量放出によるガスの運動や中心星変光に伴う物理環境の変化に影響されると考えられるが、SiOメーザーの励起機構の解明は十分ではない。
- SiOメーザー複数輝線の相対分布から励起機構の推察が可能であることから、SiO  $v=3$   $J=1 \rightarrow 0$  メーザーをプローブとして励起機構を解明できないか。

## Summary

---

- 脈動変光星12天体に対して $v=2,3$   $J=1 \rightarrow 0$ の観測を行い、4天体において $v=2,3$ 合成マップを作成

✓  $v=2,3$ メーザー相対分布の様子にはバリエーションがある

W Hya, WX Psc, R Leo : 衝突励起が優勢な励起機構

T Cep :  $H_2O-SiO$  line overlappingが優勢な励起機構

✓ line overlappingが優勢となるのは、中心星の赤外放射が強くなる変光周期  $\Phi \sim 0.2$ (0.0, 1.0でlight maximum) : 仮説

- さらなる観測を実施

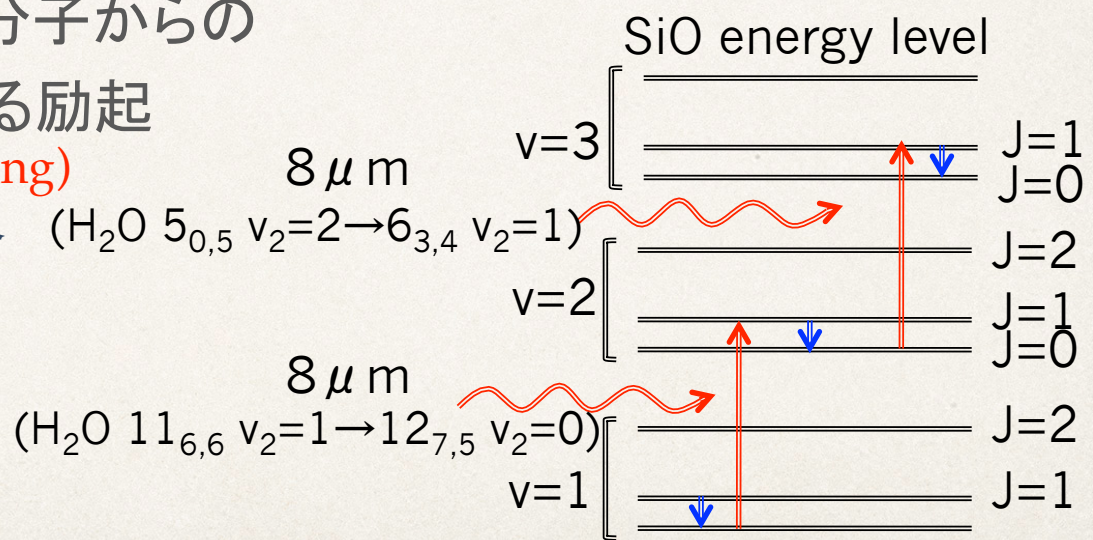
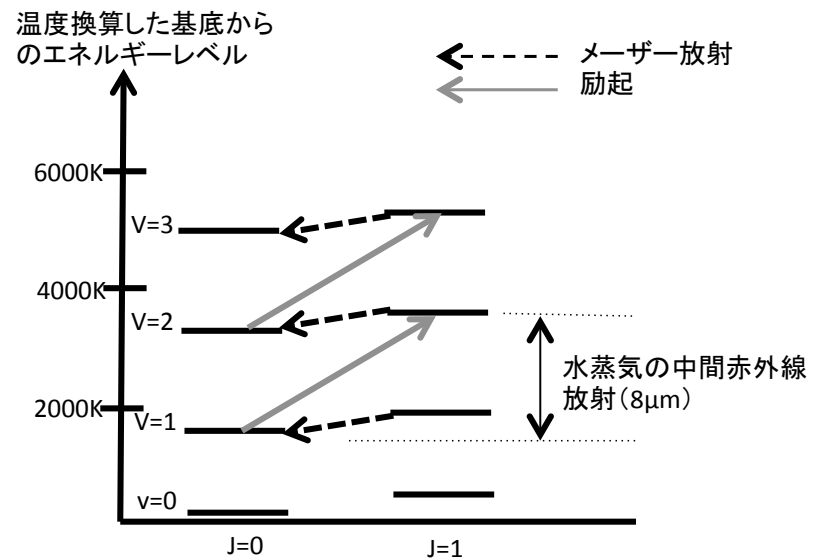
✓ 変光周期 $\Phi \sim 0.2$ での観測であったが、相対分布は予測とは異なり衝突励起がと思われる相対分布を示した

R Leo, R Cas : 衝突励起が優勢な励起機構

→ line overlappingが優勢となるのは、変光周期の中でごくわずかな期間なのではないか

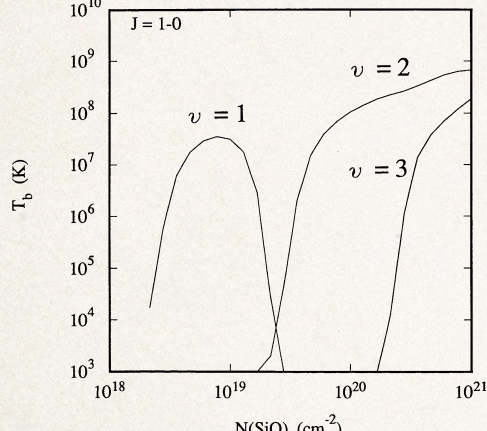
# Pumping mechanism

- 衝突励起  
水素分子とSiO分子との衝突によって励起する
  - 放射励起
    - 中心星からの赤外放射によって励起。 $(v=3 \ J=1)$ への励起は？）
    - 星周にある水蒸気分子からの中間赤外線線による励起  
( $H_2O$ -SiO line over lapping)
1. 水蒸気分子から $\sim 8\mu m$ の赤外線放射
  2. 赤外線放射によりSiO分子が励起： $v=1 \ J=0 \rightarrow v=2 \ J=2$
  3.  $v=2 \ J=1-0$ メーザー放射増
  4. 赤外線放射によりSiO分子が励起： $v=2 \ J=0 \rightarrow v=3 \ J=2$
  5.  $v=3 \ J=1-0$ メーザー放射増



# SiO $v=1,2,3$ $J=1\rightarrow 0$ メーザの相対分布からメーザー励起機構を推察する

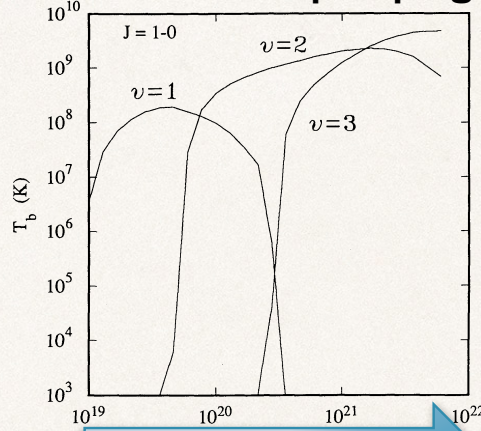
## □ Stellar Radiative pumping



(Lockett & Elitzur, 1992 )

$v=3$   $J=1\rightarrow 0$  は  
メーザー励起機構を推  
察する良いプローブにな  
る！！

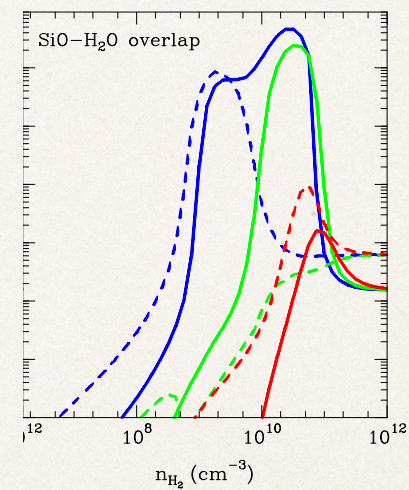
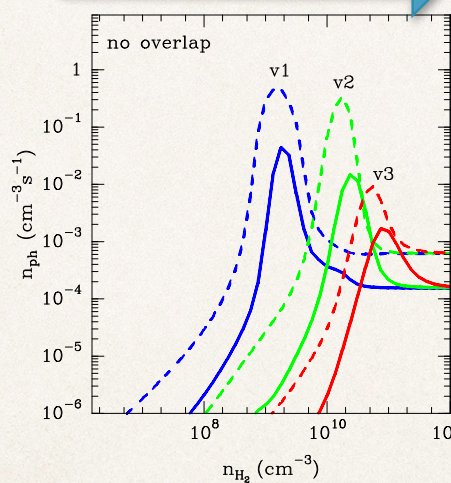
## □ Collisional pumping



中心星方向

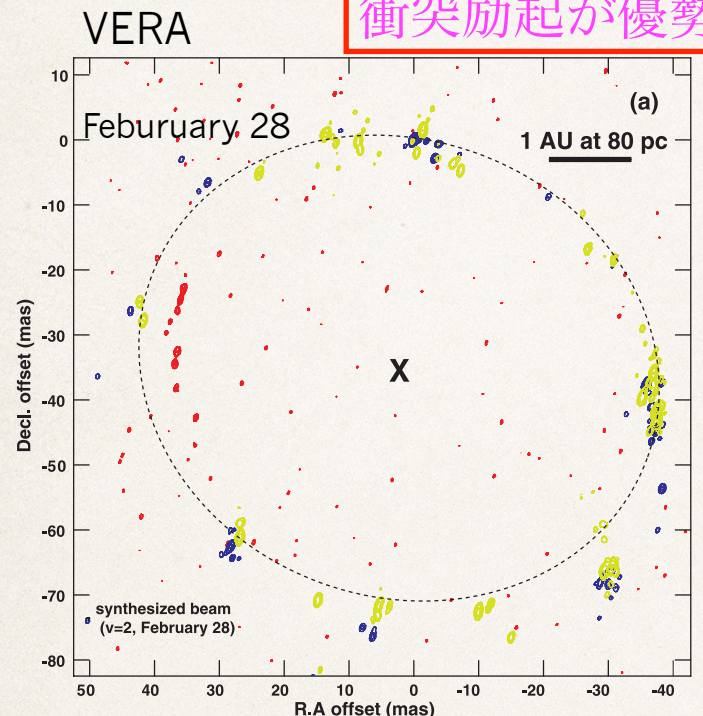
## □ $\text{H}_2\text{O-SiO}$ Line overlapping

(J. -F. Desmurs, 2014 )

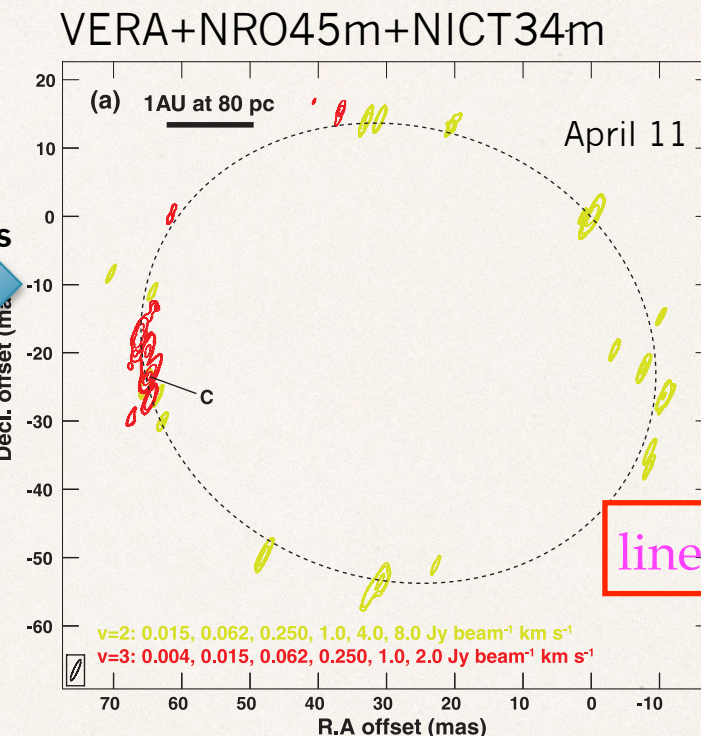


# SiOメーザーの相対分布は変光周期に依存するのか？

W Hya

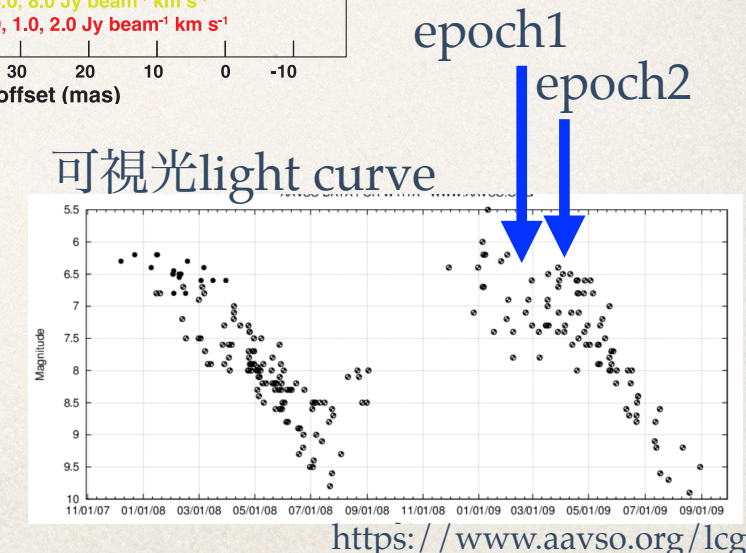


Blue :  $v=1 J=1-0$   
Green:  $v=2 J=1-0$   
Red :  $v=3 J=1-0$



仮説

1. 中心星からの赤外線放射増
2. 星周水蒸気分子からの8μm放射増
3. line overlapping が優勢になる



# Observations

---

## ① Telescopes: VERA+NRO45

Target: 12天体(右表)

lines: v=2, 3 J=1-0

Date: 2012年3月, 5月

4つの天体でv=2,3 合成マップ  
作成

## ② Telescopes: VERA(+NRO45)

Target: R Leo, (TX Cam)

lines: v=1,2,3 J=1-0

Date: 2014年12月～2015年1月  
(2週間間隔3epoch)

v=3データはVERAのみ

## ③ Telescopes: VERA+NRO45 +Kashima34

Target: R Cas

lines: v=0,1,2,3 J=1-0

$^{29}\text{SiO}$  v=0 J=1-0

Date: 2015年3月1日

(Poster 03 by H.Imai)

Parameters of observations

Source name	Scan (hr) *1	$\phi$ *2	observation date *3	v=3 maser
WX Psc	2.6	N/A	B	detected
U Ori	0.8	0	A	
AP Lyn	1.3	N/A	B	
VY CMa	2.4	0	A	
R Leo	3.8	0.15	B	detected*4
W Hya	2.8	0	B	detected
RS Vir	0.9	0.1	B	
RU Her	1.6	0.7	A	
U Her	1.7	0.2	A	
V4120 Sgr	2.8	N/A	B	detected*5
V1111 Oph	2.3	N/A	A	
T Cep	2.6	0.2	B	detected

\*1 Total integration time in hour

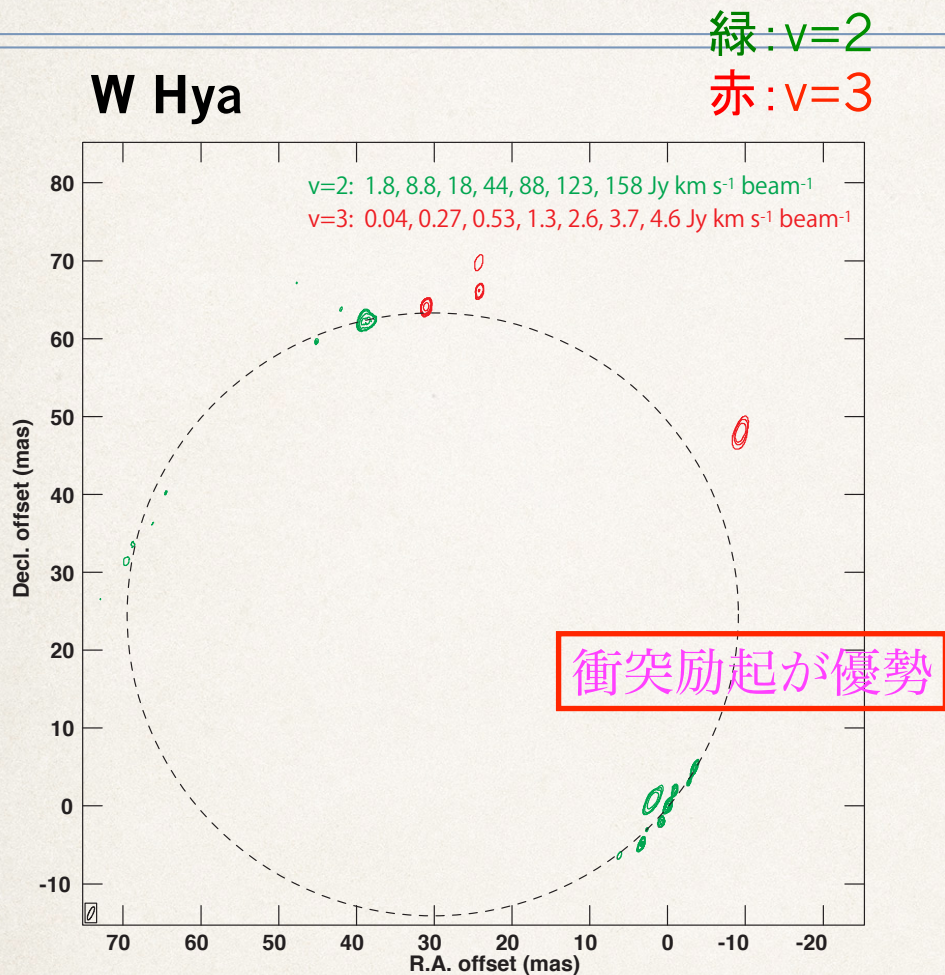
\*2 Light curve phase (0.0 and 1.0 at the light maximum)

\*3 A:March 24-25 in 2012; B:May 21-22 in 2012

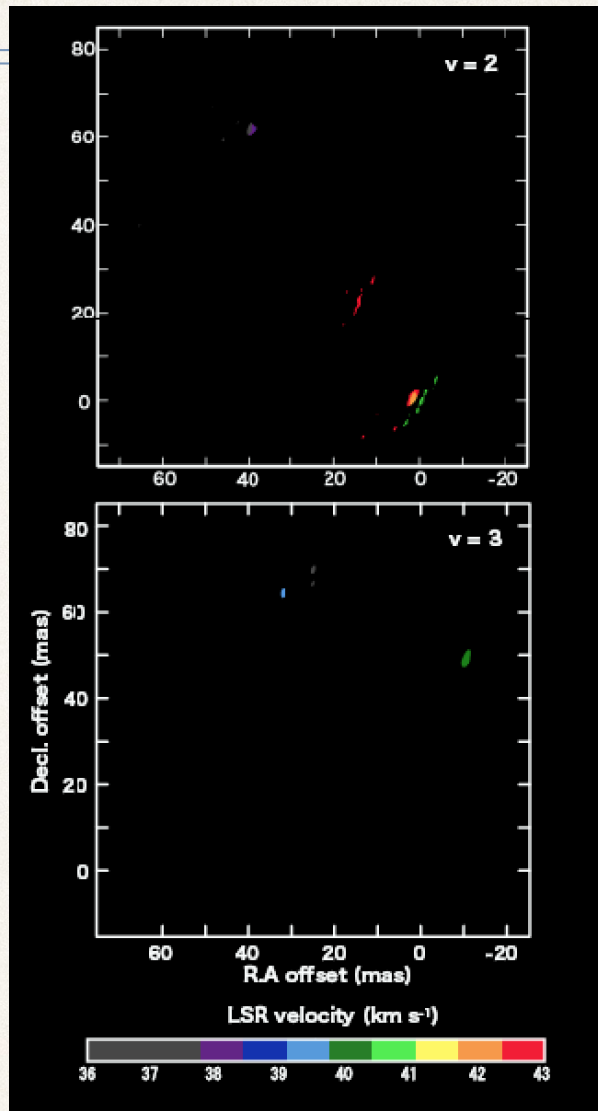
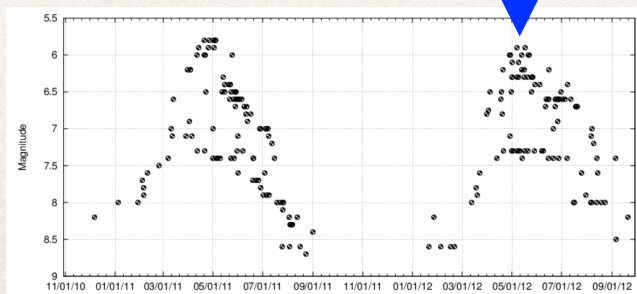
\*4 We could not obtain a meaningful composite map due to a too small number of the v=2 and v=3 maser spots to find a ring-shaped structure.

\*5 There was only one maser spot detected.

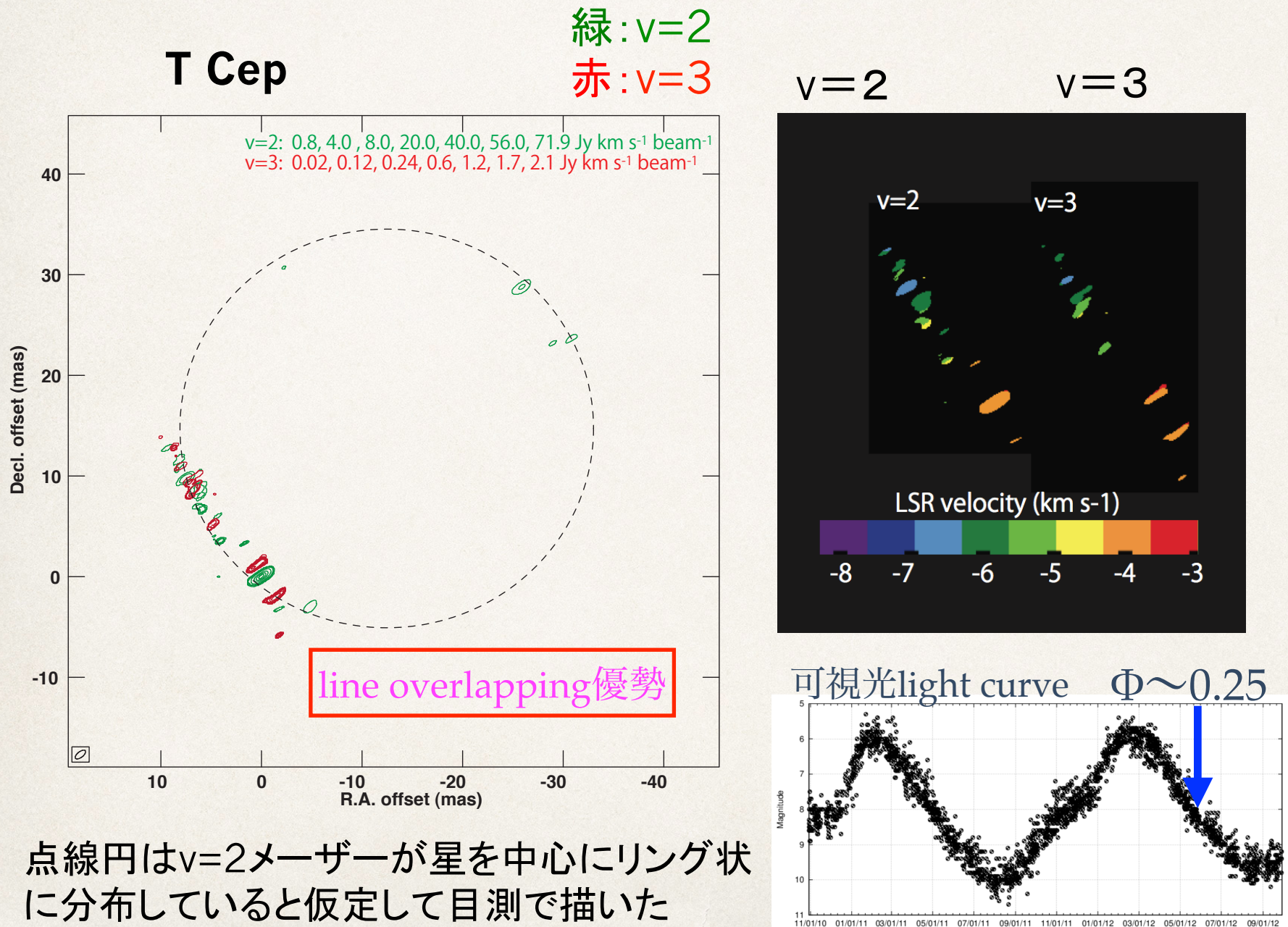
# W Hya v=2, v=3 J=1-0, VERA+NRO45m



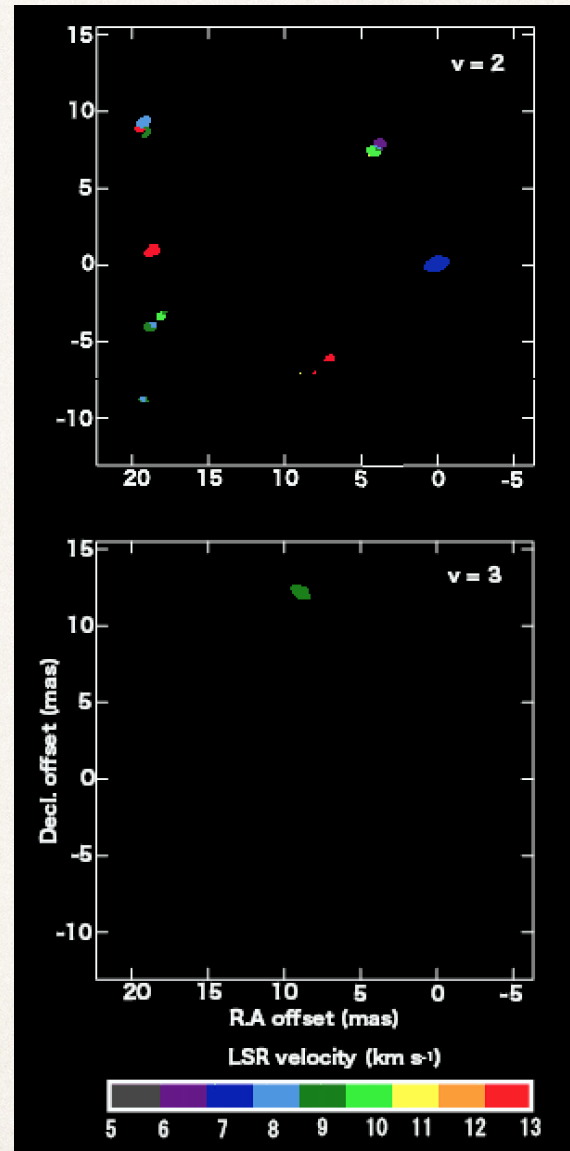
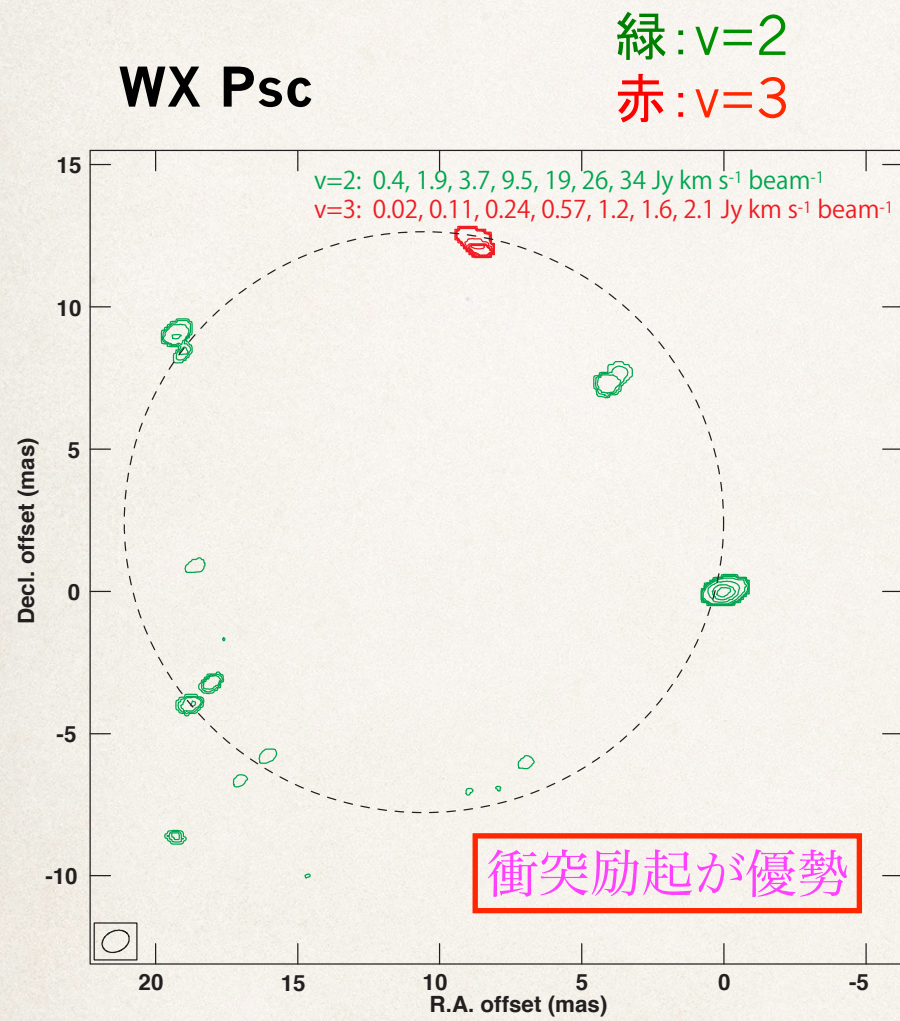
$$\Phi \sim 0.0$$



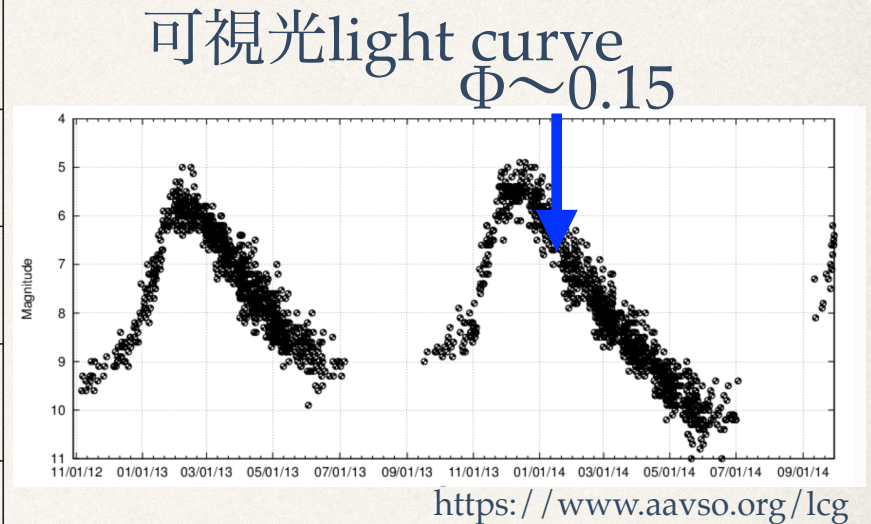
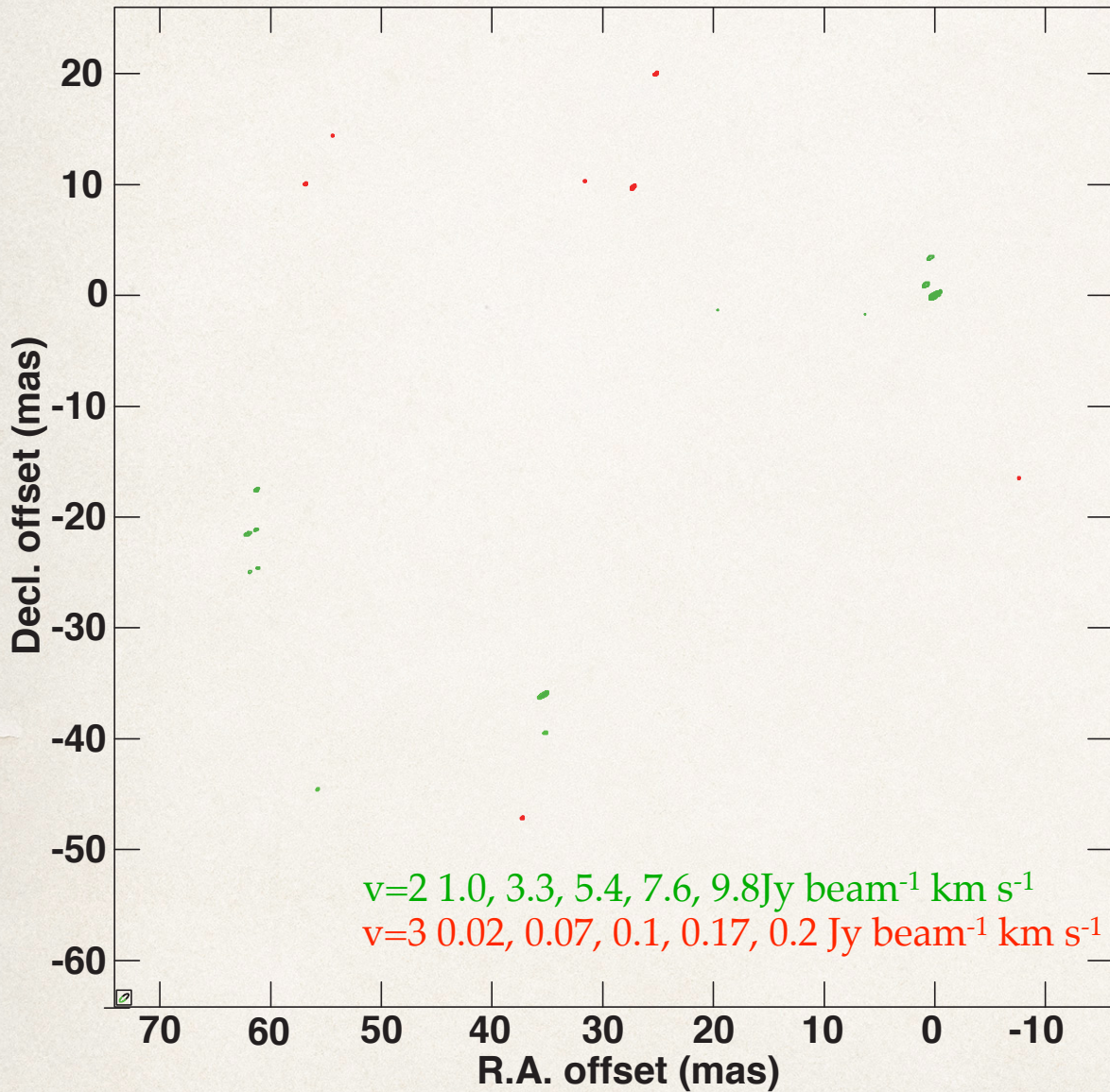
# T Cep $v=2, v=3$ J=1-0 VERA+NRO45m



# WX Psc v=2, v=3 J=1-0 VERA+NRO45m



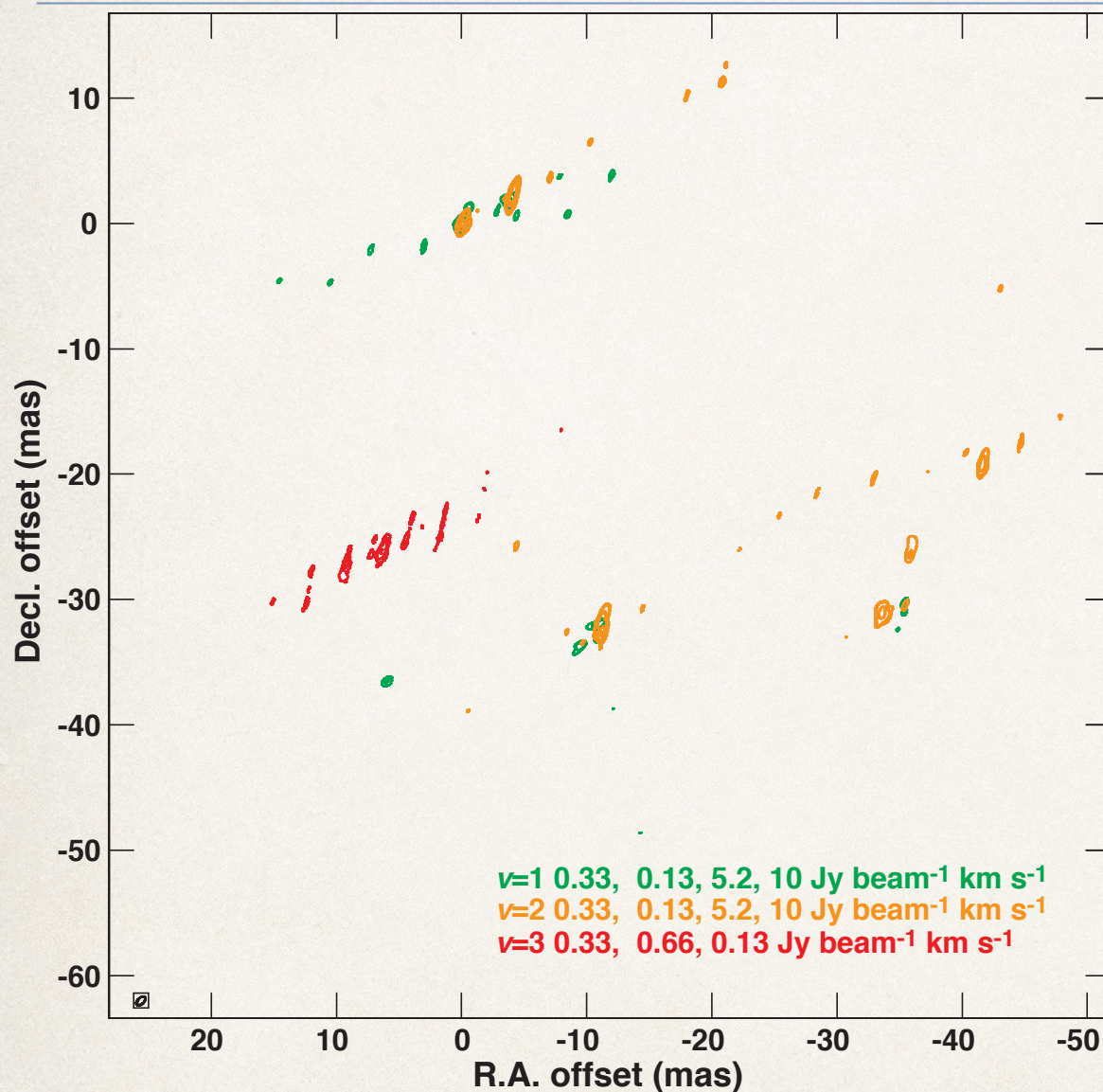
# R Leo v=2, v=3 J=1-0 VERA



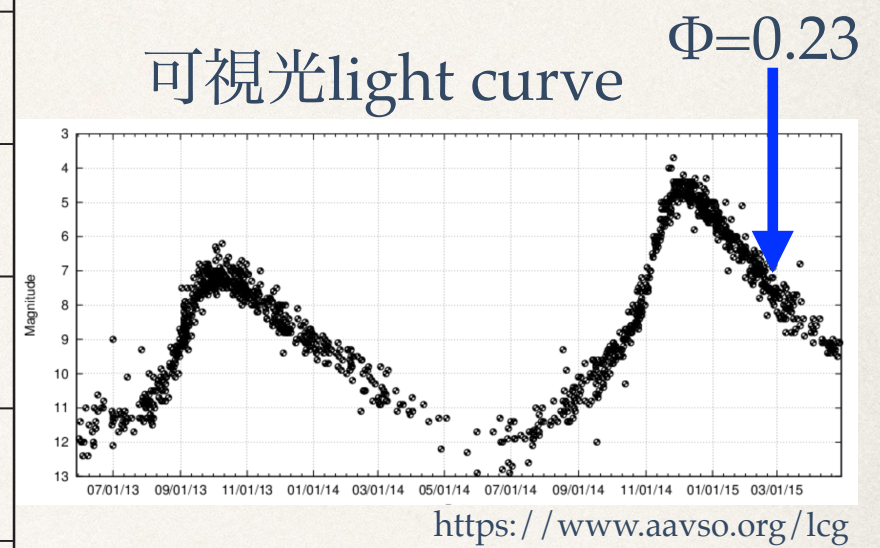
v=3 メーザー領域は  
v=2 の領域と異なっている

衝突励起が優勢

# R Cas v=1,2,3 J=1-0 VERA+NRO45m+Kashima34m



(Poster 03 by H.Imai)



<https://www.aavso.org/lcg>

$v=3$ メーザー領域は  
 $v=1, v=2$ の領域と異なっている

衝突励起が優勢

## Summary

---

- 脈動変光星12天体に対して $v=2,3$   $J=1 \rightarrow 0$ の観測を行い、4天体において $v=2,3$ 合成マップを作成

✓  $v=2,3$ メーザー相対分布の様子にはバリエーションがある

W Hya, WX Psc, R Leo : 衝突励起が優勢な励起機構

T Cep :  $H_2O-SiO$  line overlappingが優勢な励起機構

✓ line overlappingが優勢となるのは、中心星の赤外放射が強くなる変光周期  $\Phi \sim 0.2$ (0.0, 1.0でlight maximum) : 仮説

- さらなる観測を実施

✓ 変光周期 $\Phi \sim 0.2$ での観測であったが、相対分布は予測とは異なり衝突励起がと思われる相対分布を示した

R Leo, R Cas : 衝突励起が優勢な励起機構

→ line overlappingが優勢となるのは、変光周期の中でごくわずかな期間なのではないか